

する。例えはある unit graph を大洪水に適用するために図-2 のように修正すると、それを使った適用例は図-3 のようになる。

#### 6. 最大洪水流量算出式

$$Q_{\max} - Q_0 = 5 R_{tge} + 2.5 R_e$$

の形で作つたが、実際と合うこともあり、合わぬこともある。

#### 7. 計画洪水曲線の作製

#### 8. 湿水期流量遞減曲線(図-4)

図-3 Unit Graph 適用例

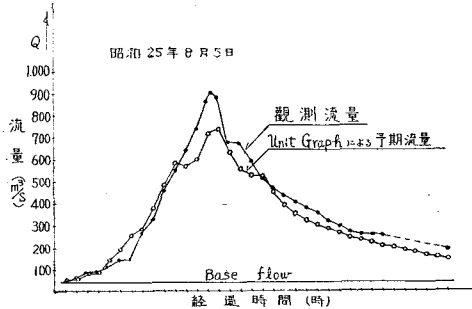
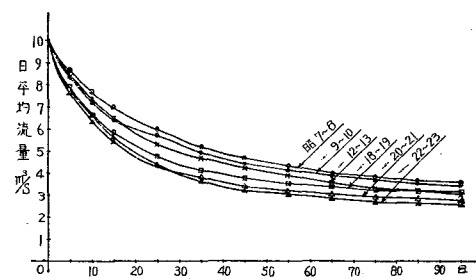


図-4 湿水期流量遞減曲線



本研究は元来が森林(水源林)が河川に及ぼす影響をみるためのものであつたが、流出の経年変化を比較検討した数種の事項のなかで、この遞減曲線だけは顕著な傾向をみせている。これは秋の終りから春の始めまでの渇水期の日々の記録を図示したもので、年代順に曲線が下つてゐる。これが何を意味するか即断はゆるされないが検討をつづけている。

### (5-4) 水制と蛇行に関する一実験

正員	信州大学工学部	工博	結	城	朝	恭
正員	同	○佐々木八郎				
正員	長野県土木部	青木康夫				
准員	信州大学工学部	吉田俊彌				

1. 目的 女鳥羽川(長野県、犀川水系)土砂流下抑止及び流路調整のために設けられた水制工に関して筆者等は水制と蛇行について実験を試み、河道安定対策の一資料とせんとしたものである。

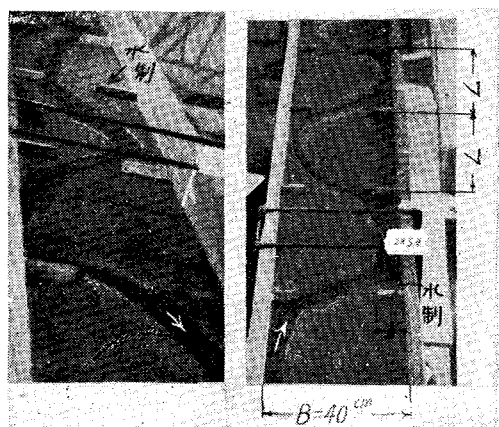
2. 実験装置 木製水路(巾  $B=40$  cm, 深さ 15cm, 長さ 6 m)内に砂(平均粒径  $d_m=0.35, 0.76$  及び 1.54 mm の 3 種)を厚さ 3 cm に平坦に敷き、これに水を流し、蛇行の発生状況を観測した。水路勾配を  $i=1/25 \sim 1/100$ 、流量を  $Q=0.05 \sim 1 l/sec$  の範囲とし、水制としては木のブロック(長さ  $b=8, 10, 12$  cm の 3 種)を用い、その間隔( $L$ )を 20~80 cm とした。

#### 3. 実験結果

(1) 蛇行のできる範囲 蛇行を発生せしめるようなある支配流量の領域が存在するものごとく、流量がある下限界以下でも、またある上限界以上でも蛇行現

写真-1 水制と蛇行

$d_m=1.54$  mm,  $i=1/25$        $d_m=0.76$  mm,  $i=1/25$   
 $L=60$  cm,  $b=12$  cm       $L=60$  cm,  $b=8$  cm  
 $Q=0.43 l/sec$ ,  $p/L=2$        $Q=0.16 l/sec$ ,  $p/L=2$



象は見られないものである。

(2) 蛇行のピッチ ( $P$ ) と粒径, 勾配及び流量との関係 砂の粒径が大なるものより小なるものほど, あるいは水路勾配の緩やかなものより急なものほど, あるいはまた流量が大なるものより小なるものほど, それぞれ蛇行のピッチは短くなる傾向が認められる。すなわち  $\kappa$  は  $1/d_m, 1/i$ , 及び  $Q$  等に依存するものごとくである。

(3) 水制が等間隔, 左右岸対称に設置された場合 水制個所が node となるよう幾多の蛇行現象を呈したが, ほとんどが  $\kappa/L=2$  なる値を示した。このことは女鳥羽川に設けられた水制箇所における蛇行の現況と合致するのであつて, 興味を覚える。

さらに刨出しを水制群の上流部に設置すれば, これが蛇行発生の一要因になるのではないかとの説があるが, これによつていぢりしい変化を呈するのを認めるることはできなかつた。

本研究は文部省科学試験研究費補助による研究の一部であり, 長野県土木部の御協力を煩わしたものであつて, あわせてここに深い謝意を表する。

### (5-5) 通水断面の変化する堰における洪水追跡の一近似計算法

准員 九州大学工学部 上田年比古

流量の一部が背水曲線の形で貯溜される堰に洪水流が流入し, かつ堰両岸の流失等でその通水断面が時間的に変化する場合の流出曲線を求める近似解法を試みた。

堰地点で上下流を切り離して考え, 上流は流量の一部が堰地点において貯溜されると考える。すなわち 図-1 のようにある流入量に対する堰のない場合の水面曲線と, 堤のため生じた背水曲線との間の水量を貯溜量とする。下流流量は堰の上流側水位の函数とする。

- 1) 堤地点における堰のない場合の水位  $H_0$  と流量  $q$  との関係曲線。
- 2) 堤の上流水位  $H$  と流出量  $Q$  との関係曲線。
- 3)  $H_0$  と,  $H_0$  からのある堰上げ高さ  $h$ , 及びこれ等に対する貯溜量  $S$  との間の関係曲線。

以上 3 曲線を求めておく。いま時刻  $t_1$  から  $t_2$  の  $\Delta t$  時間に流入量が  $q_1$  から  $q_2$  に, 流出量が  $Q_1$  から  $Q_2$  にまた貯溜量が  $S_1$  から  $S_2$  に変じたとすれば連続式は

$$\frac{1}{2} (q_1 + q_2) \Delta t = \frac{1}{2} (Q_1 + Q_2) \Delta t + (S_2 - S_1)$$

始めの状態すなわち,  $q_1, Q_1, S_1$  が既知で,  $\Delta t$  後の  $q_2$  に対し  $Q_2$  を求めるに, まず  $Q_2$  を仮定して上式から  $S_2$  を求める。また 1) 曲線から  $q_2$  に対する  $H_{02}$ , 2) 曲線から仮定  $Q_2$  に対する  $H_2$ , 従つて  $H_2 - H_{02}$  から  $h$  がえられるから 3) 曲線より  $S_2$  を求める。ゆえに上記 2 種の  $S_2$  が一致するように  $Q_2$  を定めることができる。この場合堰における通水断面が変化するから 2) 曲線は 図-2 のように各断面について求める。 $t_1$  に  $a$ ,  $t_2$  に  $b$ , … と流失した場合を考えれば, 上記仮定  $Q_2$  に対する  $H_2$  を求める場合  $b$  線を用いる。 $a, b, c, \dots$  の時刻を任意に変することにより, 両流入曲線に対し, 任意の両岸流失速度に対する流出曲線を求めることができ, 流入・流出両曲線の比較により堰地点の両岸流失が下流流量に及ぼした影響等の計算に利用できる。



図-1

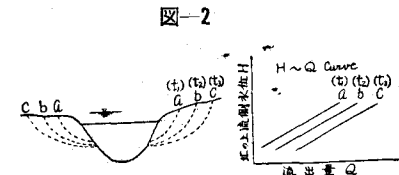


図-2